

ديناميك جريان نفاث مشتت بشكل شعلة مسطحة .

د.م. ايفان انطونوف م. ليوفين ايلينكوف
م. عاصم قداح م. نيقولاي بتكوف

واعتماداً على التشابه الجدلي بين عملية الحرق والعملية المعاكسة "اطفاء حريق ما"، يقترح في (3) و(4) هيكل لأداة اطفاء حريق تعمل بالمبدأ الموصوف.

يبين هيكل الجهاز المقترح بالشكل 1/: على ذراع واحدة تتوضع ثلاث بخاخات تغذى بسائل لاطفاء الحريق "في الحالة المدروسة يستخدم الماء". ويمكن أن يغير البخاخان الطرفيان وضعيهما بالنسبة للبخاخ المركزي الثابت. والجهاز مصمم بحيث يمكن التحكم بالتدفق المعطى لكل بخاخ على حدة وكذلك يمكن التحكم بزوايا الانحراف عن الأفق. وبتغيير تدفق الجريان لكل بخاخ والزوايا فيما بينها يتم تغيير شكل المقطع العرضي للجريان الكلي الناتج، كذلك البعد الأقصى الذي يصل اليه الجريان.

وخلفاً للأجهزة المشابهة المعروفة في هذا الجهاز توضع نفثة أساسية "مركزية" يطلق عليها اسم "التابع الحامل" وهذه النفثة تزيد ثبات الجريان والبعد الأقصى الذي يصل اليه.

عند التأثير المتبادل "الصدم" بين النفثات المائية يتولد جريان مشتت "مرذذ"

عند التأثير المتبادل الفراغي لنفثتين "أو ثلاث" متناظرة محورياً، واقعة في مستوى واحد وتشكل زوايا فيما بينها، يتولد جريان بشكل شعلة مسطحة ويشابه بشكل كبير النفثات المستوية، مقطعه العرضي له شكل قطع ناقص محوره الكبير يقع في مستوي توضع النفثات. يبدي الجريان الناتج ثباتاً كبيراً - خلافاً للجريانات ذات المقطع العرضي البدائي المربع أو المستطيل - ذلك أنه لا يظهر أي ميول بالتحول الى جريان بتناظر محوري "ضمن الأطوال المدروسة على الأقل".

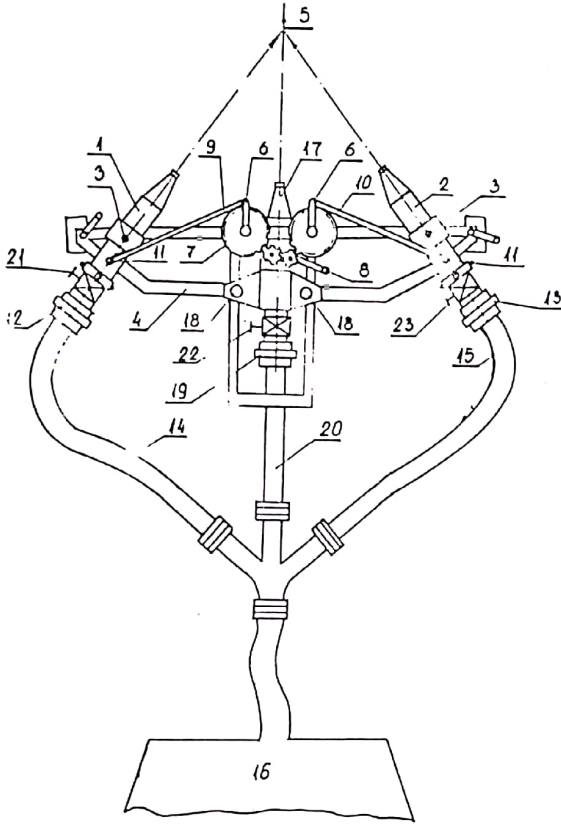
هذه الجريانات تجد تطبيقاً في الحالات التي تتطلب تكثيف عملية تبادل محددة، وعلى هذا الأساس تم وضع نماذج لحراقات تستخدم في المراجل ذات الاستطاعات العالية (1).

إن امكانية التحكم بشكل وهيكلية الجريان الناتج وتوضعه الفراغي، تسمح لحراقات من هذا النوع بأن تستخدم عند حرق وقود له أي حالة من حالات المادة الفيزيائية، "غاز - سائل - غبار الفحم". النموذج النظري لحراقات مشابهة ب(2).

بحدود $We.Re^{0.5}=(80.72 \div 82.6)$

حسب (5) هذه البارامترات توافق حالة التفتت الانفجاري. بهذا النظام من الرش تأخذ القطرات أبعاداً أقل بكثير من تلك الأبعاد للقطرات الخارجة من فوهة النفثات. وهذا مثبت بالدراسات بالتصوير الضوئي.

بشكل شعلة مستوية، يتوزع الجزء المتردد ضمن حدود عريضة جداً وبشكل عام يكون قطر الرذاذ بحدود $\mu.m (300 \div 0,3)$ و $d_k = (0,2 \div m.m, (200$ تكون قيم عدد wk_p في حدود (5389,8) $wk_p=(4675 \div (We.Re^{0.5})$ والجداء



الشكل (1)

معطى في الشكل (2- آ و ب) عند زوايا توضع بين البخاخات ($\alpha=10^\circ$)، وقطر للبخاخات ($d = 13 \text{ mm}$) وضغط ($p=0,4 \text{ MPa}$) وفي الشكل (3- آ و ب) من أجل ($\alpha=20^\circ$) ($d=7 \text{ mm}$) ($P=0.4 \text{ Mpa}$) في الشكلين يظهر التصوير الضوئي لشكل الجريان الناتج بمستويين متعامدين.

تملك دراسة كثافة الرسن اهتماماً

- (1-2) النفثات الجانبية .
- (3) محور دوران النفثات الجانبية .
- (4) الذراع الحامل .
- (5) نقطة التلاقي لتشكل الجريان بشكل الشعلة المسطحة .
- (6-7-9-10-11) جهاز ادارة النفثات الجانبية بالنسبة لمحور التناظر
- (8) عتلة تحكم .
- (12-13-19) فلنشات وصل .
- (14-15-20) أنابيب إيصال الماء الى النفثات .
- (16) خزان السائل .
- (17) النفثة المركزية .
- (18) قطع لتثبيت النفثات على الذراع.
- (21-22-23) صمامات تحكم بالتدفق المعطى لكل نفثة .

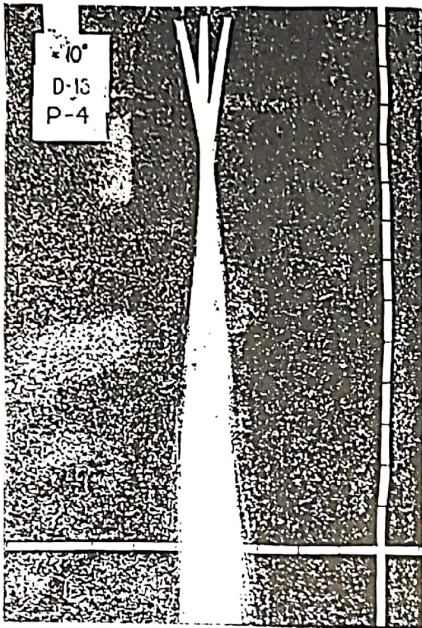
يمكن استخدام الجريان الناتج لتشكيل جدران وقاية عند اطفاء الحرائق، لحماية الأشخاص والحيوانات والمعدات من التأثير المباشر للحريق، كما يستخدم لغسيل الجو من التلوث النووي، وطرده الغازات السامة وغيرها.

والدراسات التجريبية المجراة تقدم تأكيداً لذلك .

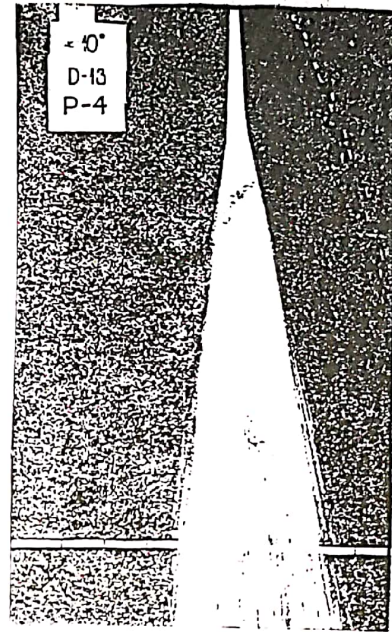
التصوير الضوئي للجريان المتشكل

خاصاً من وجهة النظر النظرية ويفهم كثافة
الرسن كمية الخليط التي تعبر واحدة السطح
من مقطع الجريان في واحدة الزمن (q')
وتقاس كثافة الرسن q' بـ $[Kg/m^2.S]$
تظهر الأشكال (4- آوب) و(ج - آوب)
خطوط كثافة الرسن الثابتة لحالتين من

حالات الجريان عند زوايا تواضع
($\alpha=20^\circ$)، ($\alpha=10^\circ$). خطوط كثافة
الرسن الثابتة ($q' = \text{Const}$) معطاة في
مستويين متعامدين احدهما على طول
الجريان و الآخر على المقطع العرضي
للجريان .

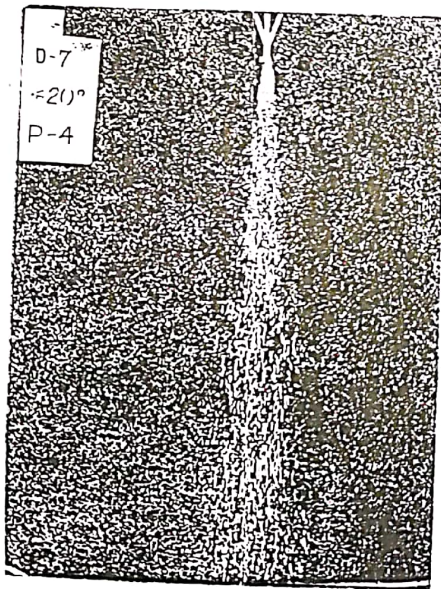


(ب)

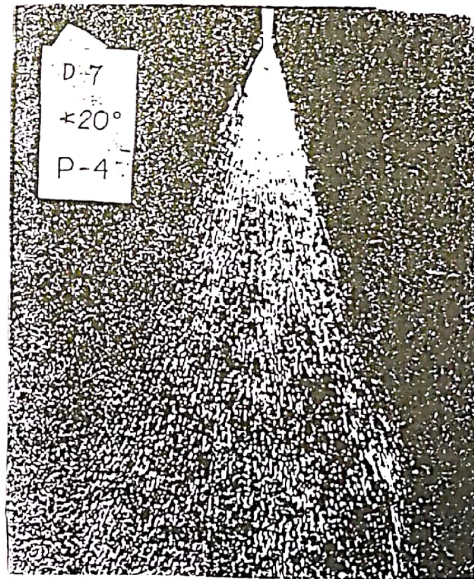


(i)

(2) الشكل



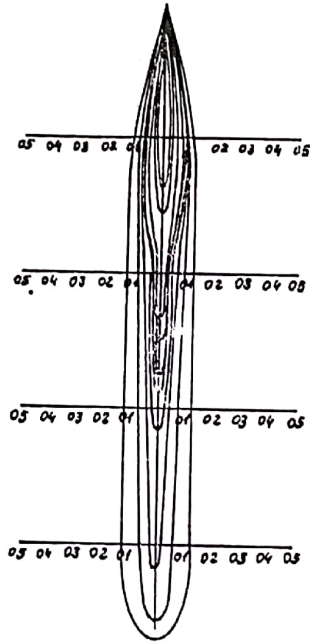
(ب)



(i)

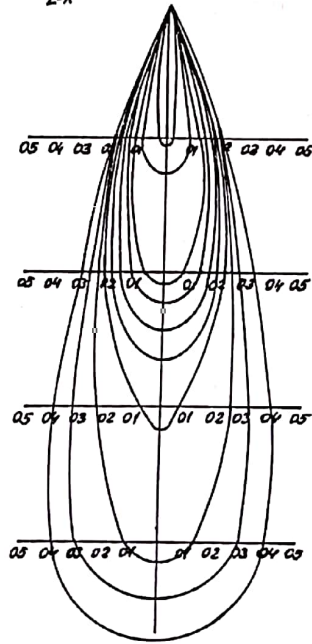
(3) الشكل

$P_4 \angle 10^\circ$
 $n_3 d$
 $z-y$



(ب)

$P_4 \angle$
 $n_2 d$
 $z-x$

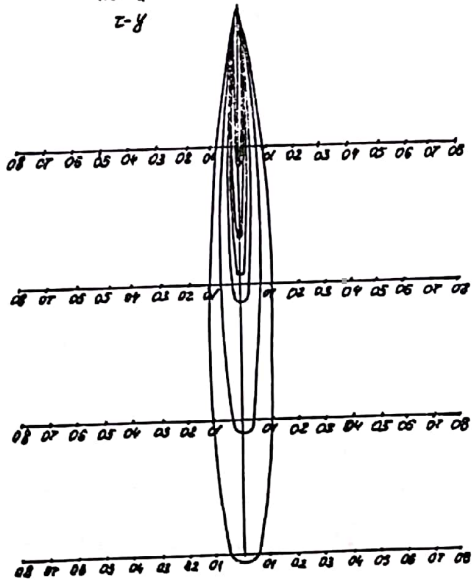


(ا)

$\alpha = 10^\circ$
 $d = 13 \text{ mm}$
 $p = 0.4 \text{ Mpa}$
 $Z - X \rightarrow$
 $\leftarrow Z - Y$

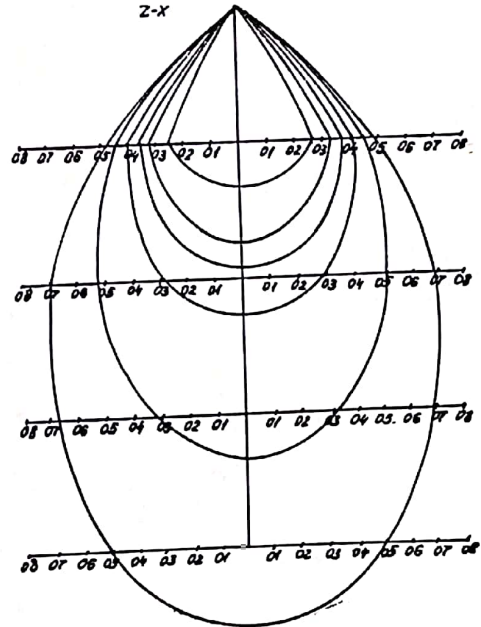
الشكل (4)

$P_3 \angle 20^\circ$
 $n_3 d_7$
 $z-y$



(ب)

$P_3 \angle 20^\circ$
 $n_3 d_7$
 $z-x$



(ا)

$\alpha = 20^\circ$
 $d = 13 \text{ mm}$
 $p = 0.3 \text{ Mpa}$
 $Z - X \rightarrow$
 $\leftarrow Z - Y$

الشكل (5)

واضح في الأشكال (4-5) شكل الشعلة المستوية الذي يأخذه الجريان كما هو واضح ثبات الجريان على كامل الطول المدروس.

وفي مستوي البخاخات (2,4) يظهر اقتراب خطوط $q' = \text{Const}$ نحو محور الجريان مما يؤدي الى تزايد مكاني لكثافة الرسن. قريب من ظاهرة "التشكل الخيطي" للمزيج. يمكن أن يفسر هذا بالانخفاض السريع للاضطراب في القطاع المحوري مما يؤدي الى حجزه المزيج نحو المحور.

أحد البارامترات الهامة للجريانات المستخدمة في اطفاء الحريق هو البعد الأقصى الذي يصل اليه الجريان أي الامكانية الحدية التي يمكن أن يدفع سائل اطفاء حريق اليها بواسطة نفثاة، بتقريب مقبول لدراسة جريانات مشابهة يمكن أن يستخدم النموذج الرياضي التالي:

يدرس بطريقة لاغرانج حركة قطره واحدة أو جزئية واحدة من المزيج لأن حركة القطرات عامة ومتشابهة إلى حد كبير في الدراسات المشابهة، ولايجاد الموديل الرياضي يقبل بمجموعة الفرضيات والتبسيطات التالية :

- يقبل أن مسارات قطرات السائل المستقلة لا تتقاطع وبالتالي فإن القطرات لا تؤثر على بعضها .
- يقبل شكل القطرات على أنه كروي والقطرات تحافظ على أبعادها على

طول الجريان .

- تتحرك القطرة في جريان ثنائي الطور وبالتالي توجد سرعة انزلاق بين الطورين (القطرات والطور الذي يحملها).

- تؤثر فقط قوتي المقاومة (F_a) و الكتلة (F_g) ، كما هو بالنسبة لقطرة تتحرك على خط السرعة العظمى ، ومجموع القوى العرضية يساوي الصفر "فرضية ساقمن وغيره".

معادلات الحركة لجريان ثنائي البعد بصيغة لاغرانج وبشكلها الأكثر شمولاً لها الشكل:

$$m_p \frac{dU_p}{dt} = \sum_{i=1}^n f_{xi} - 1$$

$$m_p \frac{dV_p}{dt} = \sum_{j=1}^m f_{yj} - 2$$

حيث m_p كتلة القطرة، U_p و V_p سرعتها على المحاور x و y .
 f_{xi} و f_{yj} مركبات قوة التأثير بين الأطوار.

قوة المقاومة f_A تحسب بالعلاقة:

$$f_A = 0,5 C_{i,p} \rho G S |\bar{V}_i - \bar{V}_r| - 3$$

لمعامل المقاومة الهيدروليكية تستخدم العلاقة.

- 4

$$C_{i,p} = 24 \text{Rep}^{-1} (1 + 0,179 \text{Rep}^{0,5} + 0,013 \text{Rep})$$

التجريبية ويختبر الى أي حد يمكن أن يطبق في النموذج الحسابي .

حلت المسألة باستخدام برنامج قياسي لحل معادلات تفاضلية عادية، كما تمت مقارنة نتائج الحل الحسابي بنظامين للجريانات في النفائات المدروسة. تمت المقارنة مع اعادة حساب السرعة البدائية، لأنه بعد التأثير المتبادل "الصدمة" بين النفائات يتشكل جريان بشكل شعلة مستوية له مقطع بدائي أكبر بعدة مرات من مقطع النفائة. والذي يوافق سرعة أقل.

في الأشكال (6-7) يظهر مسار الجزئيات مرسوماً (على الصورة الضوئية للجريان) حسب الحل الحسابي المذكور يمكن التأكيد على أن التطابق جيد جداً ويصف بتقارب كاف حركة الجزئية على خط السرعة العظمى (أي على محور تناظر الجريان)

$$Re_p = \frac{d_p \cdot V_r}{\nu}$$

عند سرعة الانزلاق V_r تحدد بالعلاقة

$$\bar{V}_r = \bar{V}_b - \bar{V}_p - 5$$

بهدف تبسيط الحل يقبل بوجود تناسب

بين السرعات \bar{V}_p و \bar{V}_b من الشكل

$$|\bar{V}_r| \approx K |\bar{V}_p| - 6$$

وبالتالي

$$U_p - U_b \approx KU_p, \quad V_p - V_b \approx KV_p$$

بعد القبول بهذه الخطوة يمكن الحصول

على جملة المعادلات التالية:

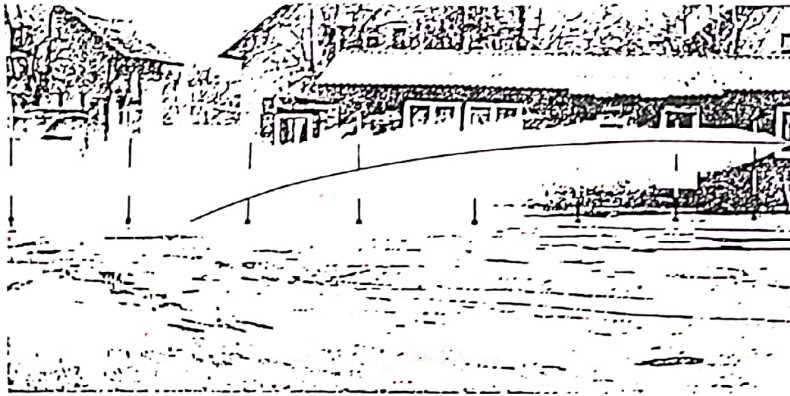
- 7

$$m_p \frac{dU_p}{dt} = -0,5C_{r_f} \cdot S \cdot \rho_a \cdot K^2 \cdot U_p \sqrt{U_p^2 + V_p^2}$$

- 8

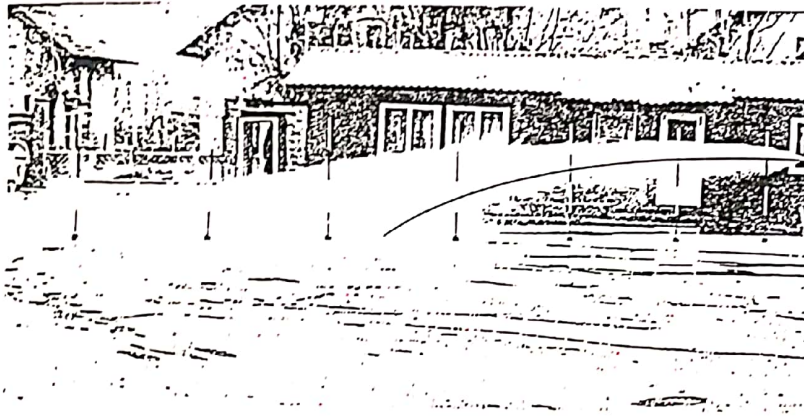
$$m_p \frac{dV_p}{dt} = m_p \cdot \rho_b - 0,5C_{r_f} \cdot S \cdot \rho_a \cdot K^2 \cdot V_p \sqrt{U_p^2 + V_p^2}$$

المعامل K يحدد من الدراسات



$\alpha = 20^\circ$
 $d = 13 \text{ mm}$
 $p = 0,8 \text{ Mpa}$
 من الحل الحسابي

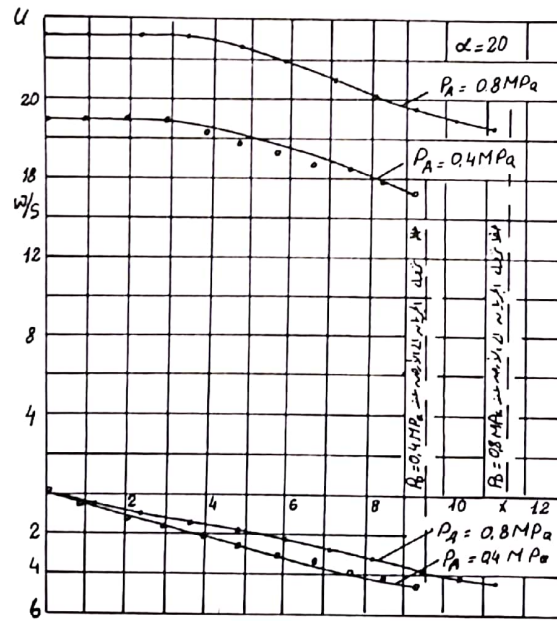
الشكل (6)



$\alpha = 20^\circ$
 $d = 13 \text{ mm}$
 $p = 0,4 \text{ MPa}$
 من الحل الحسابي

الشكل (7)

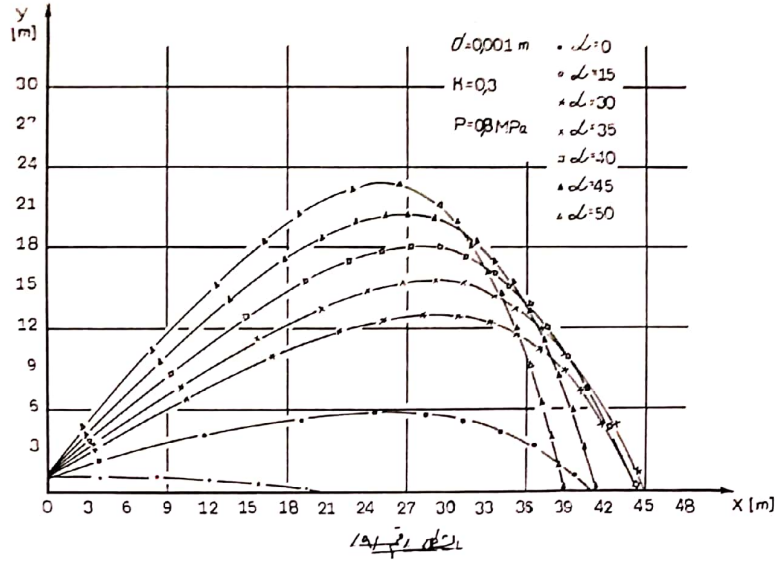
الشكل 8 يبين تغير السرعات U_p و V_p لنفس الحالات المصورة بالأشكال (6-7)



الشكل (8)

التجريب الحسابي نجد أن البعد الأعظمي
 للجريان ينتج عند زاوية انحراف لجهاز
 اطفاء الحريق بالنسبة للأفق بحدود (35°)

دراسة تأثير الزاوية التي تصنعها
 البخاخات مع الأفق على البعد الأعظمي الذي
 يصل اليه الجريان مبيناً في الشكل (9) من



الشكل (9)

يولد جريان بالمواصفات اللازمة حسب المتطلبات التي صمم من أجلها الجهاز وهو ذو فعالية تقنية متعددة الجوانب، إذ يمكن أن يستخدم في الانتاج الزراعي "ري الأراضي"، تقنيات الحرق، غسل الشوارع والمساحات وغيرها.

ختاماً يمكن التأكيد أن النظام المدروس والموصوف لجهاز اطفاء الحريق جهاز تشكيل جدار وقاية بسائل مشتمت ، والمسجل ببراءة الاختراع رقم : (# 44728 MIKA 62C 31/02 30.11.87)

AERODYNAMIC OF A FLAT - TORCH DISPERSED JET

A. KADDAH N.P.PETKOV
I.S ANTONOV L.A. ELENKOV
Technical University - sofia - Bulgaria
Hydroaerodynamics department

A dispersed stream , Caused by the space interaction of round water jets , arranged. the configuration of its cross section is almost like the cross- section of a flat stream and it is named after it .

Having built the lines of irrigation constant intensity, which gives a clear view of the type of the stream , the characteristics of distribution are investigated.

With the help of equation of motion in la grange form , an approximate model of the stream is worked out to define the range of dispersed jet .

The velocity of phase slip is also read - it is accepted that the velocities of the phase do not coincide .

المراجع

- 1- كانتسنلسن .ب.د،آن . شاتيل ، آن . تراسوف وغيرهم . الدراسة الايروديناميكية لحراقات لها شعلة مسطحة . الطاقة الحرارية . / 1 / 1974
- 2- انطونوف . ا.س .، س . تودورف ، الموديل النظري لحراقات بشكل شعلة مسطحة ، الطاقة / 11 / 1981 .
- 3- انطونوف أ. س ، ل . ايلنكوف . حول امكانية تحقيق حاجز وقاية مشكل من نفاثة مشتتة بشكل شعلة مسطحة . مؤتمر علمي في المعهد العالي للميكانيك والكهرباء . غابروف . (11-13) تشرين الأول . 1989
- 4- ايلنكوف .ب.، أ. س . انطونوف . جهاز لتشكيل حاجز وقاية بسائل مشتت . براءة اختراع (30.11.87 31/02 62C MIKA 44728 #) انطونوف ، ايلنكوف
- 5 - باجي .د.غ، ف .س . غالوستوف . الأسس التقنية لتبريد السوائل ، موسكو ، الكيمياء ، 1984 .